

Quantum phases from competing short- and long-range interactions in an optical lattice

Renate Landig¹, Lorenz Hruby¹, Nishant Dogra¹, Manuele Landini¹, Rafael Mottl¹, Tobias Donner¹ & Tilman Esslinger¹

Gabriel T. Landi
Journal Club do FMT
30/08/2016

Grupo do Prof. Tilman Esslinger, ETH Zürich

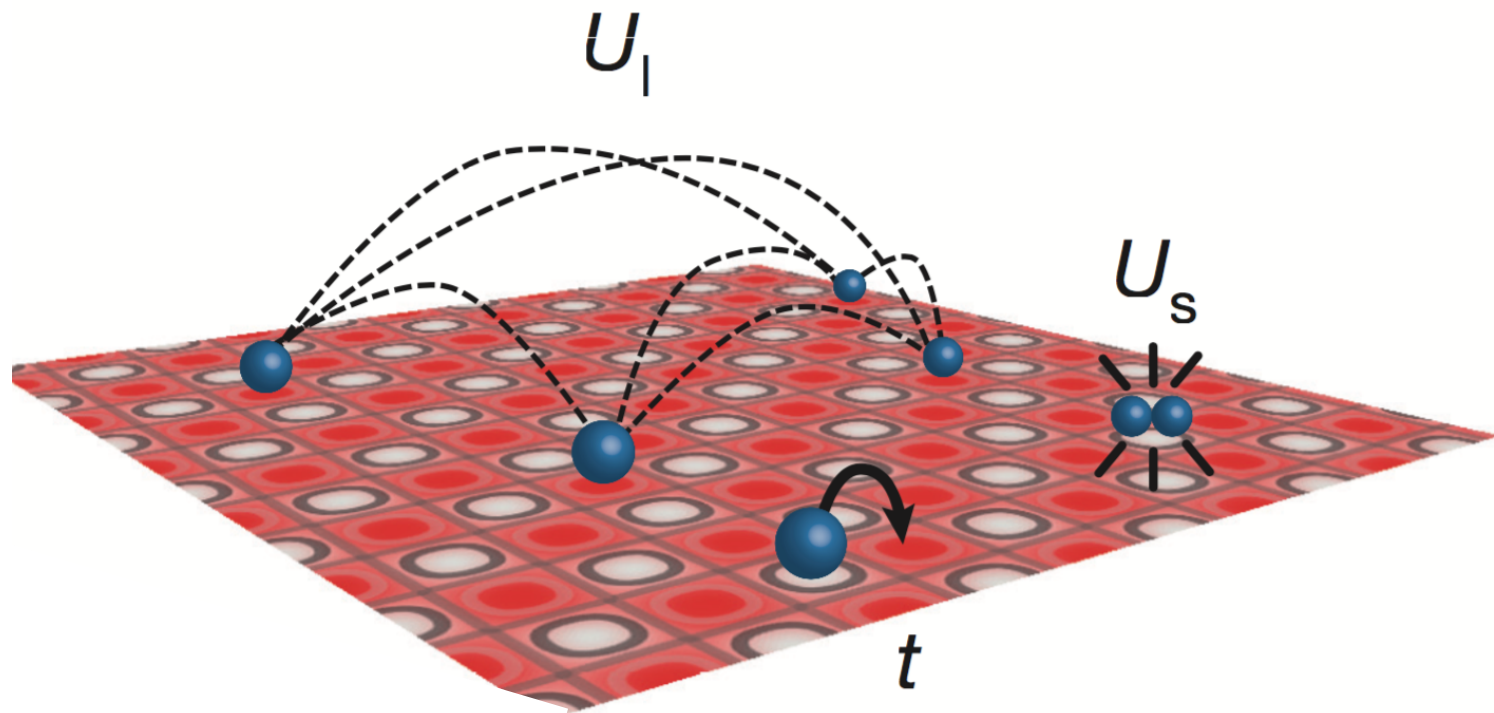
- Combinam conhecimento de
 - Ótica quântica
 - Condensados de Bose-Einstein (quantum gases)
- Possuem um sistema único:
 - Condensado de Bose-Einstein aprisionado em uma cavidade ótica.
- Idéia: usar esse sistema para simular sistemas de muitos corpos (many-body; strongly correlated) e transições de fase quânticas.

Papers explorando o mesmo setup experimental

- Nature **532**, 476-479 (2016).
- Science **350**, 1498-1501 (2015).
- Nature Communications **6**, 7046 (2015).
- Nature **517**, 64-67 (2015).
- Nature **515**, 237-240 (2014).
- Science **342**, 713-715 (2013).
- Science **340**, 1307-1310 (2013).
- Nature **491**, 736-739 (2012).
- Science **337**, 1069-1071 (2012).
- Nature Physics **8**, 455-459 (2012).
- Science **336**, 1570-1573 (2012).
- Nature **483**, 302–305 (2012).
- Nature **464**, 1301-1306 (2010).
- Nature **455**, 204-207 (2008).
- Science **322**, 235 (2008).
- Science **315**, 1556-1558 (2007).
- Nature **450**, 268-271 (2007).

Modelo de Bose-Hubbard com interação de curto e longo alcance

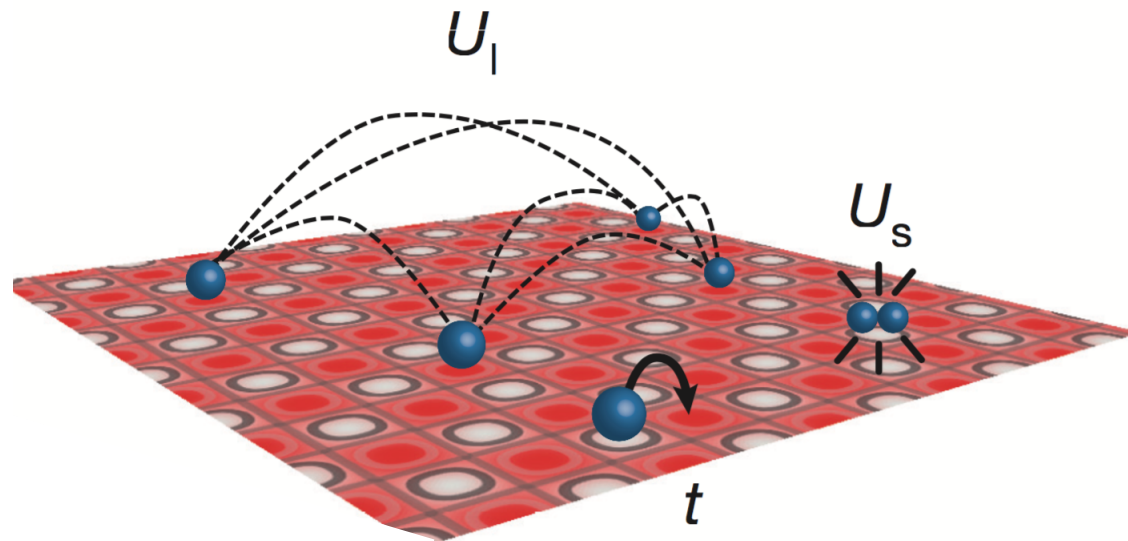
- O objetivo do experimento é simular Bosons em uma rede quadrada (2D) com interações de curto e longo alcance



- O Hamiltoniano que eles simulam é:

$$H = -t \sum_{\langle e,o \rangle} (b_e^\dagger b_o + \text{h.c.}) - \sum_{i \in \{e,o\}} (\mu - \epsilon_i) \hat{n}_i$$

$$+ \frac{U_s}{2} \sum_{i \in \{e,o\}} \hat{n}_i (\hat{n}_i - 1) - \frac{U_1}{K} \left(\sum_e \hat{n}_e - \sum_o \hat{n}_o \right)^2$$



A parte referente ao modelo de Bose-Hubbard (curto alcance) já é conhecida.

Quantum phase transition from a superfluid to a Mott insulator in a gas of ultracold atoms

Markus Greiner^{*}, Olaf Mandel^{*}, Tilman Esslinger[†], Theodor W. Hänsch^{*} & Immanuel Bloch^{*}

^{} Sektion Physik, Ludwig-Maximilians-Universität, Schellingstrasse 4/III, D-80799 Munich, Germany, and Max-Planck-Institut für Quantenoptik, D-85748 Garching, Germany*

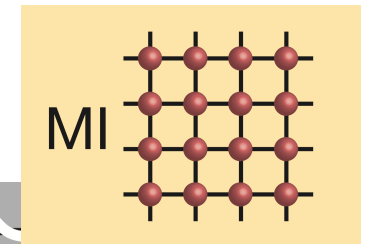
[†] Quantenelektronik, ETH Zürich, 8093 Zurich, Switzerland

- Variando os parâmetros U_s e U_1 eles mostram que o sistema pode apresentar quatro fases quânticas diferentes:

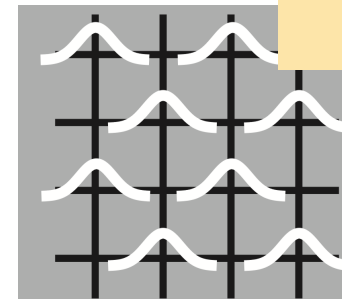
- Superfluido (SF): Bósons se movem sem viscosidade (BEC)



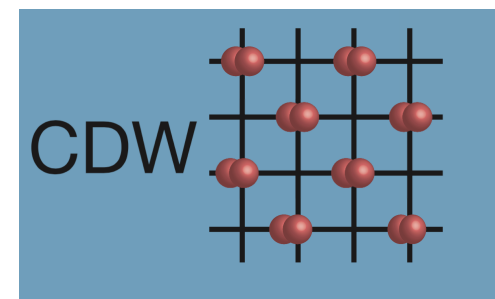
- Isolante de Mott (MI): Bósons ficam localizados devido à repulsão de curto alcance.

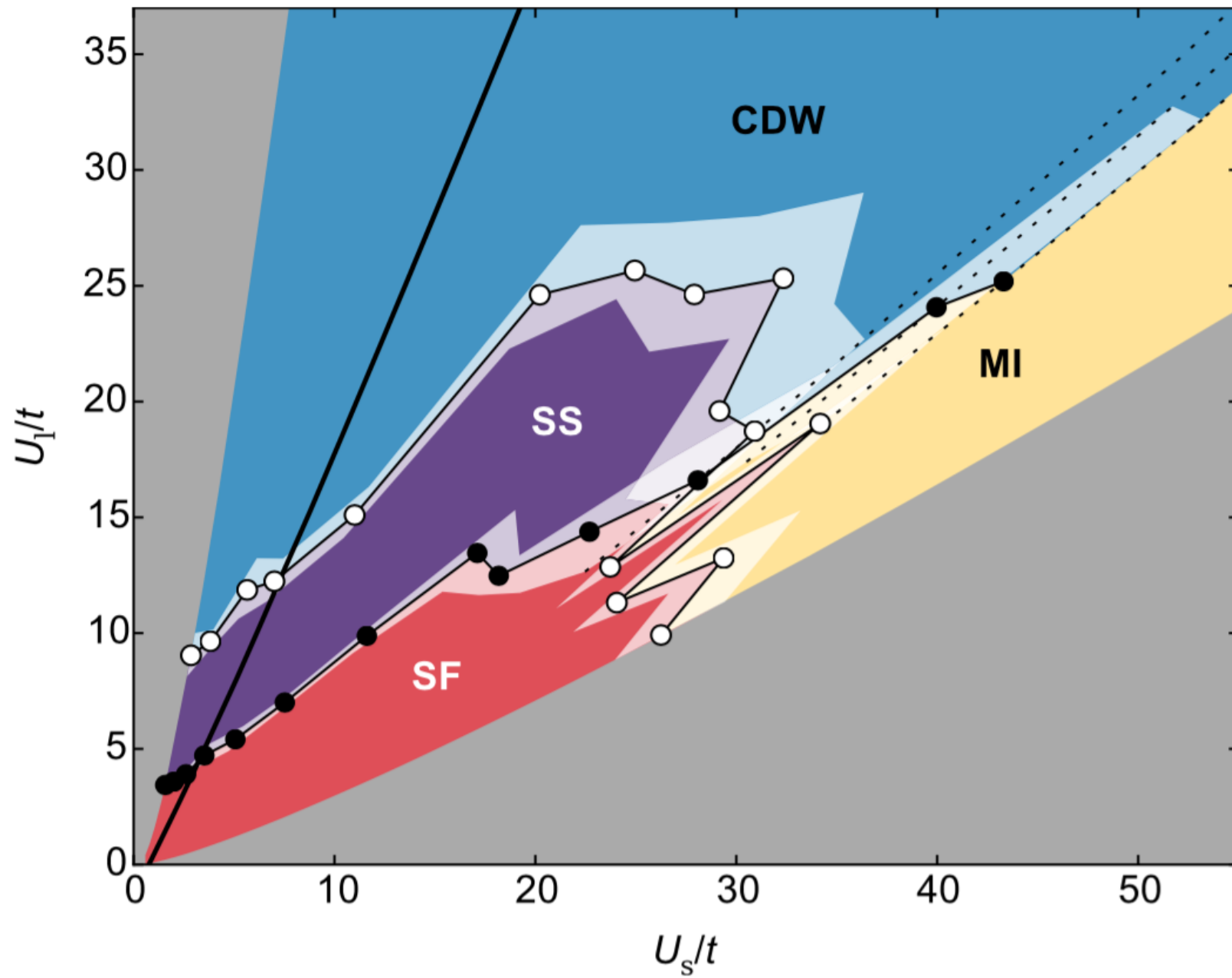


- Supersólido (SS): Vacâncias (bosônicas) se movem sem viscosidade.

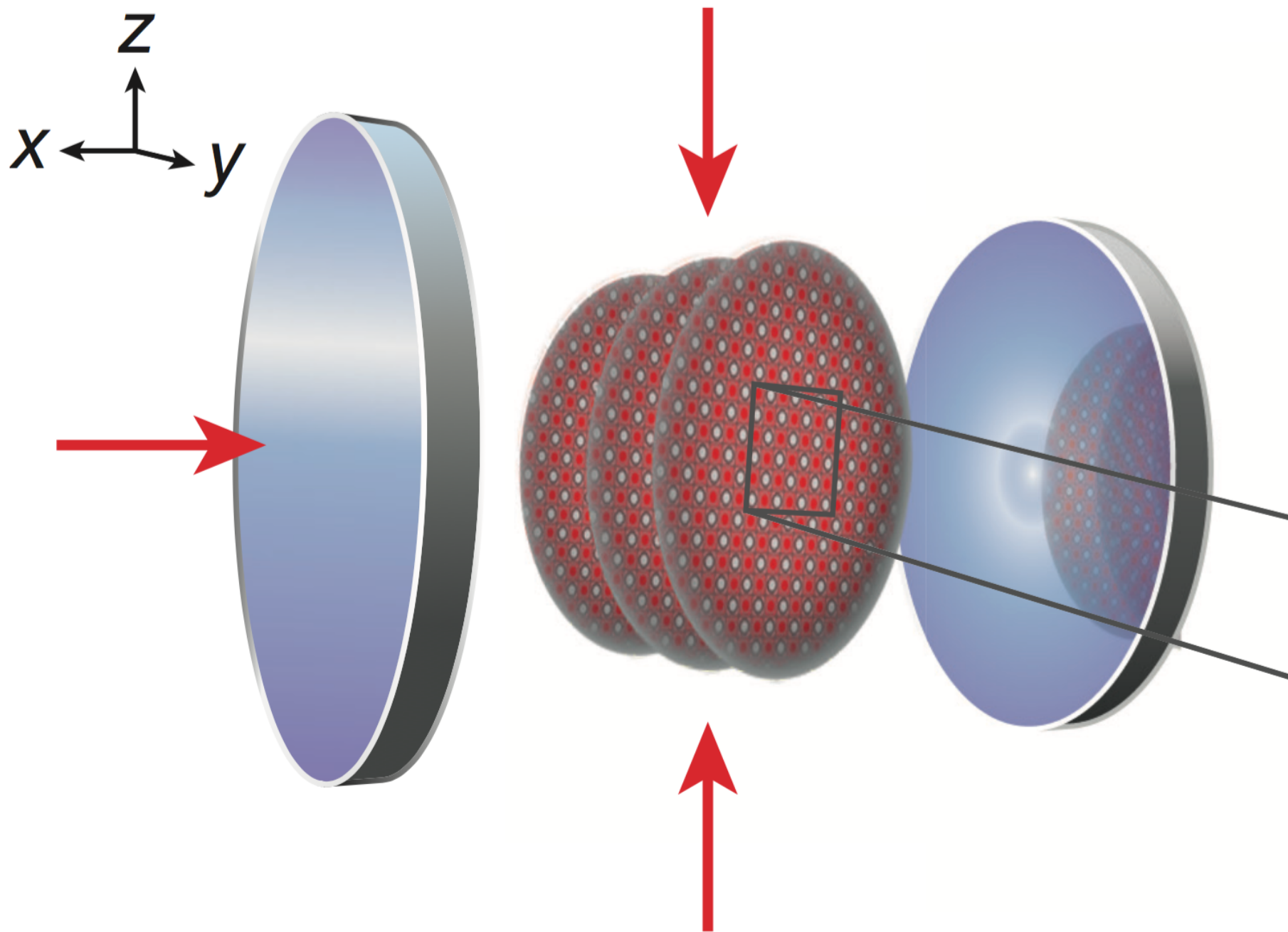


- Charge Density Wave (CDW): distorção periódica da rede e dos átomos.





Setup experimental



Setup experimental

Parte 1: separar o gás em camadas

- Gás com 4.2×10^4 átomos de ^{87}Rb à 42 nK.
- Cavityde ótica (largura $\sim 178 \mu\text{m}$) com uma armadilha ótica de dipolo $>$ cria um BEC de $\sim 10 \mu\text{m}$.
- Em seguida aplica-se um laser ($\lambda = 670 \text{ nm}$) modulado no tempo na direção y , que separa os átomos de Rb em camadas.
- Aprox. 60 camadas, com 1300 átomos na camada central (e um pouco menos nas outras).

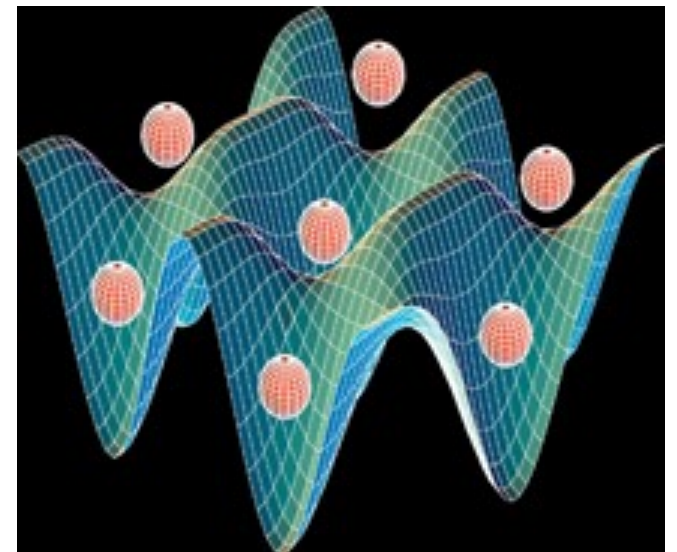
Setup experimental

Parte 2: criar uma rede quadrada em cada camada.

- As camadas de gás são expostas a uma rede ótica no plano xz ($\lambda = 785.3$ nm).
- Isso gera um potencial sentido pelos átomos do tipo:

$$V(x, z) = V_{2D} \left[\cos^2(kx) + \cos^2(kz) \right], \quad k = \frac{2\pi}{\lambda}$$

- O potencial V_{2D} pode ser controlado experimentalmente.
- Ele vai determinar U_s do Hamiltoniano de muitos corpos



- Os lasers que produzem as armadilhas possuem um número enorme de fótons e portanto podem ser incluídos na análise do sistema de maneira indireta.
- Mas há também o campo eletromagnético da cavidade (aprisionado devido aos espelhos semi-transparentes).
- Esse modo da cavidade é essencial para gerar a interação de longo alcance.

- O Hamiltoniano de um átomo interagindo com o modo da cavidade será:

Consegue controlar experimentalmente.

$$H_1 = \frac{p_x^2}{2m} + \frac{p_z^2}{2m} + V_{2D} \left[\cos^2(kx) + \cos^2(kz) \right] - \hbar\Delta_c a^\dagger a$$

$\Delta_c = \omega_z - \omega_c$

$+\hbar\eta(a^\dagger + a) \cos(kx) \cos(kz)$ ← O átomo espalha fótons do laser e os transforma em fótons da cavidade

$+\hbar U_0 \cos^2(kx) a^\dagger a$ ← O átomo sente um potencial periódico adicional devido ao campo da cavidade.

a = operador do campo da cavidade
(aprisionado devido aos espelhos)

- Para descrever o sistema de muitos átomos, mudamos para a linguagem da segunda quantização
 - Promovemos a função de onda do sistema para um operador bosônico (O ^{87}Rb possui spin inteiro, 1 ou 2).

$\Psi(x, z) =$ operador que aniquila um átomo na pos. (x, z)

- E incluímos também a repulsão entre os átomos:

$$\mathcal{H} = \int dx dz \left[\Psi^\dagger H_1 \Psi - \mu \Psi^\dagger \Psi + g_{2D} \Psi^\dagger \Psi^\dagger \Psi \Psi \right]$$

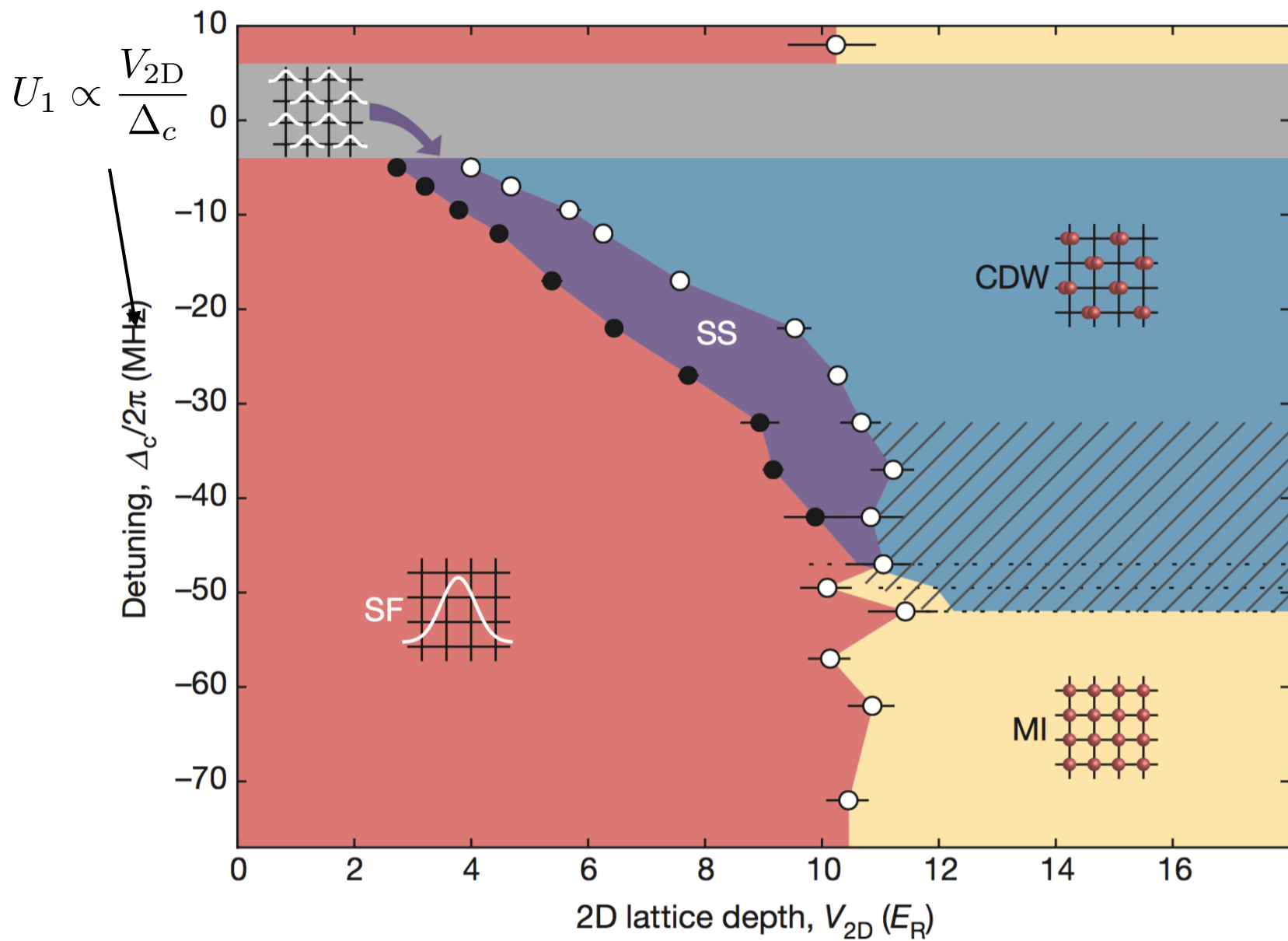
- Expansão em funções de Wannier

$$\Psi(x, z) = \sum_{n,m} \phi_{n,m}(x, z) b_{n,m}$$

- Eliminação adiabática do modo da cavidade

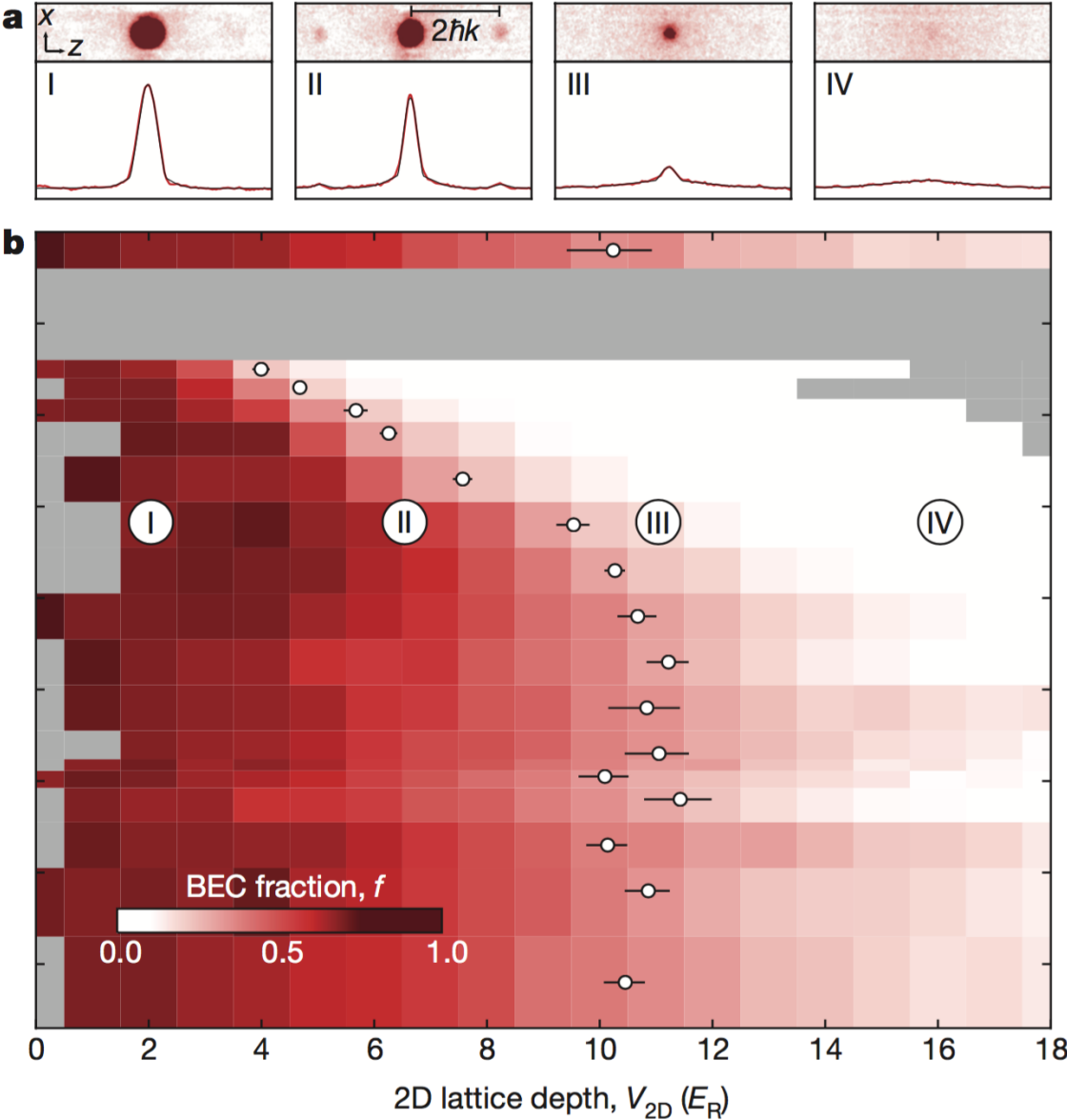
$$a \propto \left(\sum_e \bar{n}_e - \sum_o \bar{n}_o \right)$$

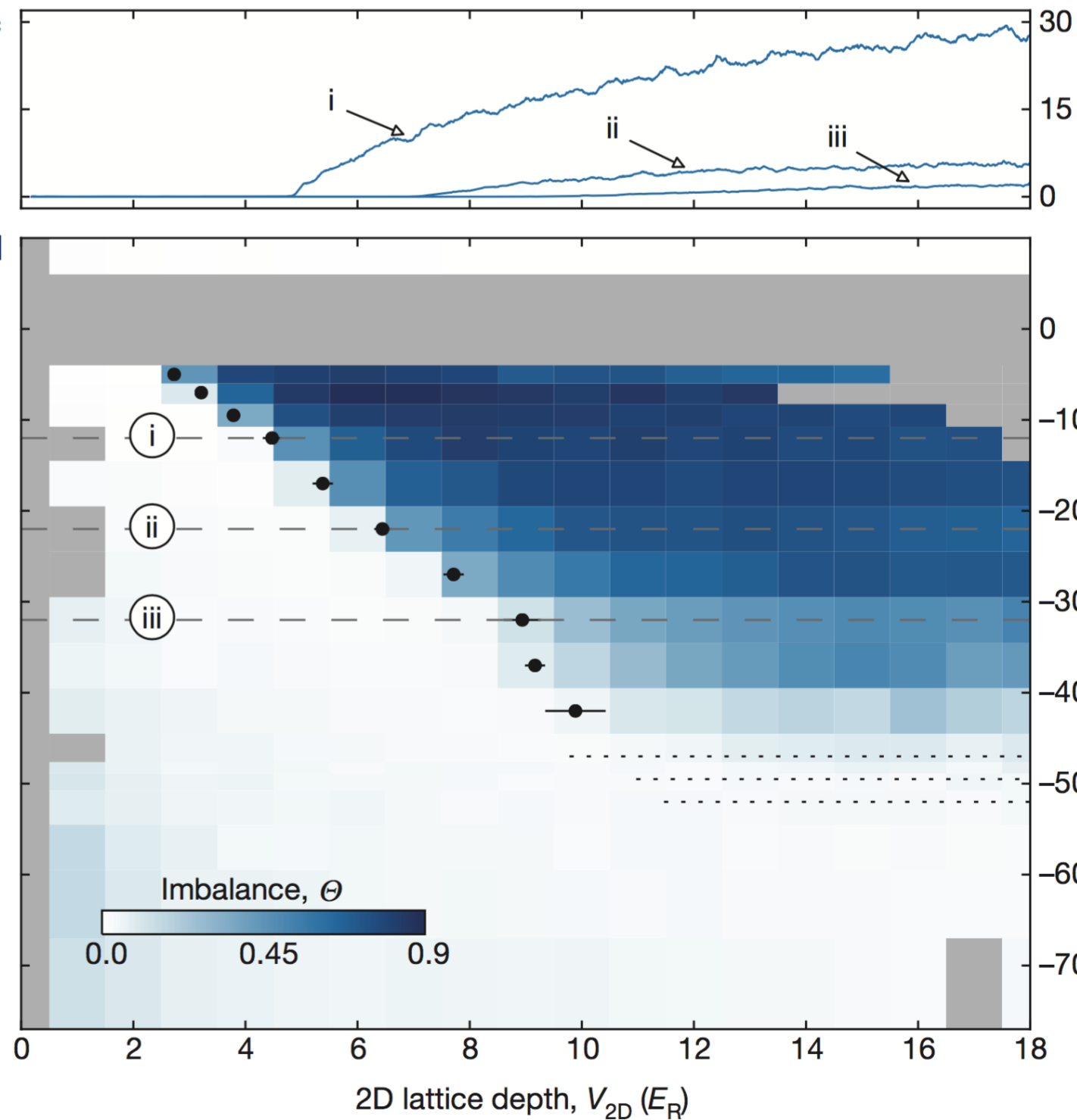
Interação repulsiva entre átomos no mesmo sítio.
Esse é o termo U_s no Hamiltoniano básico



Determinação da transição SF - MI

Expansão livre do gás ao desligar todas as armadilhas





Outra medida:
Desbalanço
par-ímpar

$$\Theta = \frac{\left| \sum_e \langle \bar{n}_e \rangle - \sum_o \langle \bar{n}_o \rangle \right|}{\left| \sum_e \langle \bar{n}_e \rangle + \sum_o \langle \bar{n}_o \rangle \right|}$$

$$\propto \sqrt{n_{\text{ph}}}$$

